

# I-212 構成された構造系の正規関数に関する一考察

八戸工業大学 正会員 ○ 稲山 和男  
電気パート(株) 正会員 石田 孝次  
和光建設(株) 正会員 大久保達美

## 1. はじめに

部材*i*とK等断面を構成された構造系の正規関数の検討を行つて。

## 2. 直交関係及び正規関数の検討

任意の節点aからn個の部材が集まっている場合を考える。(図1)

面内振動とか、曲げ振動と縦振動とか同時に生じている場合を考える。

### i) 節点aが剛結合の場合

図2を示すように、節点aにおける水平変位及び鉛直変位をそれぞれ $X_a, Y_a$ とする。また部材*i*の節点aにおける縦方向変位及び横方向変位を $(X_i)_o, (Y_i)_o$ とする。 $i$ は、軸方向座標 $z_i$ の原点は節点aにとり、カッコ外の下添字は $i=0 \sim K$ における値を示す。節点aの適合条件は、

$$(X_i)_o = Y_a \sin \theta_i + X_a \cos \theta_i \quad (1) \quad (Y_i)_o = Y_a \cos \theta_i - X_a \sin \theta_i \quad (2)$$

$$\text{また、節点aの回転角を}\theta_a\text{とすれば、} \quad \theta_a = (Y_i)_o \quad (3)$$

ここで、ダッシュ('')は区別する微分を意味する。 $i$ : 部材番号

次に、節点aにおける平面条件を考える。図3を示すように断面力の正方向をとれば、

$$\begin{cases} \sum (-S_i \cos \theta_i + N_i \sin \theta_i)_o = 0 \\ \sum (S_i \sin \theta_i + N_i \cos \theta_i)_o = 0 \\ \sum (M_i)_o = 0 \end{cases} \quad (4)$$

ここで、 $S$ :せん断力,  $M$ :曲げモーメント,  $N$ :軸力, カッコ外の下添字は、変位の場合と同様に $i=0 \sim K$ における値を示す。 $\Sigma$ は $i=1 \sim K$ までの和をとることを意味する。

$$M_i = EI Y_i''', S_i = EI Y_i'''', N_i = EA_i X_i' \quad \text{で式(4)は}$$

$$\begin{cases} \sum (-EI Y_i''' \cos \theta_i + EA_i X_i' \sin \theta_i)_o = 0 \\ \sum (EI Y_i''' \sin \theta_i + EA_i X_i' \cos \theta_i)_o = 0 \\ \sum (EI Y_i''')_o = 0 \end{cases} \quad (5)$$

ここで、 $I$ ,  $A$ ,  $E$ は、それぞれ断面の次元-メント、断面積、ヤング率である。

今、節点aを原点とした次の積分を考へる。ただし $r \neq 0$ の場合である。

$$b_{rs} = \sum \int_{r_s}^{r_o} (PA_i Y_{ir} Y_{is} + PA_i X_{ir} X_{is}) dr, \quad p_{rs} = \sum \int_{r_s}^{r_o} (EI_i Y_{ir}'' Y_{is} + EA_i X_{ir}' X_{is}') dr \quad (6)$$

ここで  $P$ :密度,  $L_i$ :部材*i*の部材長,  $r$ ,  $s$ はエード番号である。

$r=0$ における $b_{rs}, p_{rs}$ の値をとれど $(b_{rs})_a, (p_{rs})_a$ とし、 $\rho$ を角振動数とすれば

$$(\rho_r^2 - \rho_s^2) (b_{rs})_a = - \sum EI_i (Y_{is} Y_{ir}''' - Y_{ir} Y_{is}''' - Y_{is} Y_{ir}'' + Y_{ir} Y_{is}'')_o - \sum EA_i (X_{ir} X_{is}' - X_{is} X_{ir}')_o \quad (7)$$

$$\therefore (\rho_r^2 - \rho_s^2) (b_{rs})_a = Y_{as} \sum (-EI_i Y_{ir}''' \cos \theta_i + EA_i X_{ir}' \sin \theta_i)_o - Y_{ar} \sum (-EI_i Y_{is}''' \cos \theta_i + EA_i X_{is}' \sin \theta_i)_o + Q_{as} \sum (EI_i Y_{is}'')_o \quad (8)$$

$$- Q_{ar} \sum (EI_i Y_{is}''')_o + X_{as} \sum (EI_i Y_{ir}''' \sin \theta_i + EA_i X_{ir}' \cos \theta_i)_o - X_{ar} \sum (EI_i Y_{is}''' \sin \theta_i + EA_i X_{is}' \cos \theta_i)_o \quad (8)$$

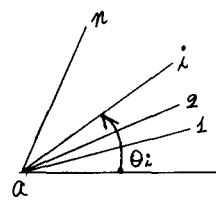


図1 θ (正)

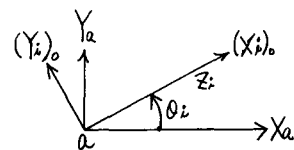


図2 变位 (正)

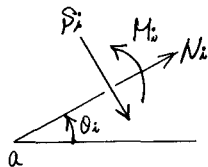


図3 断面力 (正)

$$\therefore (b_{rs})_a = 0 \quad (\because (5)) \quad (9)$$

また、式(9)が成立するとき  $(k_{rs})_a$  は

$$(P_r - P_s)(k_{rs})_a = p_s \sum (EI_i Y_{ir} Y_{is}''' - EI_i Y_{ir}' Y_{is}'' - EA_i X_{ir} X_{is}'), - p_s \sum (EI_i Y_{is} Y_{ir}''' - EI_i Y_{is}' Y_{ir}'' - EA_i X_{is} X_{ir}'). \quad (10)$$

$(b_{rs})_a$  と同様に、式(10)は、式(1), (2), (3), (5)のもとでゼロとなる。

$$\therefore (k_{rs})_a = 0 \quad (11)$$

$b_{rs}$ ,  $k_{rs}$  の積分値は、節点ごとにゼロとなり、構造系全体を渡る積分においては、境界における積分値だけが残る。しかし、その積分値はゼロであるから、連続体に関して構成したラグランジの方程式において、対角項以外はすべてゼロとなる。即ち、直交関係が成立する。 $Y_i$ ,  $X_i$  は正規関数となる。

ii) 節点  $a$  がヒンジ結合の場合

i) と同様に、横方向変位  $Y_i$  を考慮しない場合、すなはち直交関係が成立する。

### 3. 位相速度曲線・正規関数

図4, 5 に曲げ波と継波の位相速度曲線を示す。

$$\text{曲げ波: } p/c_{\theta} = R\gamma, \text{ 縦波: } p/c_{\theta} = 1.0 \quad (12)$$

$$\therefore \gamma_0 = R_i \gamma_i^2 \quad (13)$$

$$\left. \begin{aligned} Y_i &= C_1 \sin \gamma_i z_i + C_2 \cos \gamma_i z_i + C_3 \sinh \gamma_i z_i + C_4 \cosh \gamma_i z_i \\ X_i &= C_5 \sin \gamma_i z_i + C_6 \cos \gamma_i z_i \end{aligned} \right\} \quad (14)$$

$\gamma_i > 2^\circ$ ,  $\gamma$ : 曲げ波伝播定数,  $\gamma_0$ : 縦波伝播定数,  
 $C_0 = \sqrt{P/E}$ ,  $R$ : 横断面回転半径

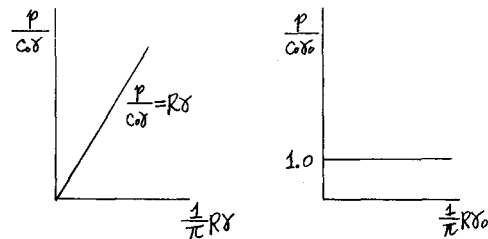


図4 曲げ波の位相速度  
曲線

図5 縦波の位相速度  
曲線

### 4. 計算モデル及び計算結果

計算モデルを図6～9に示す。部材の諸量はすべて等しい。ただし、ステーの部材長が半ば  $\sqrt{2}l$  である。

$H = 50$  の場合、計算結果を表1に示す。 $(H = l/R, R = \sqrt{A})$

剛結合は case1, ヒンジ結合  
部材横方向変位も考慮した  
場合は case2, 縦方向変位  
だけの場合は case3 とした。

| 形式 | case1 | case2  | case3  |
|----|-------|--------|--------|
| 方  | 1.15  | 3.1395 | $\pi$  |
| 枚  | 2.1d  | 3.4183 | 3.5170 |
| 鉛張 | 1.15  | 1.3904 | 1.3131 |
|    |       |        | 1.3527 |

表1



図6 ステーは剛結合

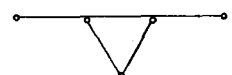


図7 ステーはヒンジ結合

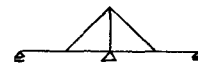


図8 ステーは剛結合

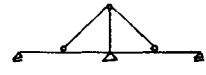


図9 ステーはヒンジ結合

### 5. おわりに

ヒンジ結合部材を有する構造系において、適合条件式(1)が成立すると考えると式(2)も同時に成立すると考えられるが自然である。従って、正規関数として式(14)の  $X_i$  を採用するのではなく  $Y_i$  を同時に考慮する必要がある。また、動的の場合には、例えば 1 ラスについても、剛結合構造として解析すべきである。その際、正規関数に含まれる伝播定数は、式(13)で示されるように、位相速度曲線より関係づけられる。詳細な計算結果は当日、発表する予定である。最後に、計算を手伝っていただいた方、当時卒研究生であった角久雄氏（日本アソシエーションサービス（株））、庵谷透氏（村木建設（株））、西本義光氏（村田興業（株））、成田徹氏（阿知工業（株））の諸氏へ謝意を表す次第である。

参考文献 1) 多谷虎男：東北大学工学報告, 39巻2号(1974), 229-271

2) 鏡山和男：昭和56年度東北支部技術研究発表会講演概要, 1-2